

НЕСТАЦИОНАРНАЯ САМОДИФРАКЦИЯ ПОПУТНЫХ ВОЛН НА ОБЪЕМНЫХ РЕШЕТКАХ ОРИЕНТАЦИИ В НЕМАТИКЕ

Т. В. Галстян, Б. Я. Зельдович, Е. А. Немкова, А. В. Сухов

Объемные решетки ориентации нематика, возбуждаемые в нем распространяющимися нормально к его оптической оси и коллинеарно друг другу обыкновенной и необыкновенной волнами, недавно были обнаружены экспериментально [1, 2]. Оптическая кубическая нелинейность, обусловленная этими решетками, достаточно высока и позволила реализовать вынужденное ориентационное рассеяние света (ВР) [1] и четырехволнивое обращение волнового фронта (ОВФ) [2] излучения свободной генерации рубинового лазера.

В обоих случаях длительность возбуждающего импульса (~ 0.8 мс) была существенно меньше времени релаксации ориентационных решеток (~ 5 мс) и процессы имели существенно нестационарный характер. Кроме того, решетки возбуждались двумя волнами, интенсивности которых различались в десятки раз, и более мощная из них (так называемая волна накачки) полагалась неистощающейся при дифракции на решетке. Наконец, интенсивности волн, требуемые для возбуждения таких решеток, довольно высоки ($\sim 100-300$ кВт/см²). Поэтому вполне вероятно влияние нагрева среды на указанные процессы, на что указывалось, в частности, в работах [3, 4].

Целью настоящей работы является исследование процесса нестационарной самодифракции волн с произвольным соотношением интенсивностей на ориентационных решетках в нематике в указанной выше геометрии (частными случаями такой самодифракции являются указанные выше ВР и ОВФ). Исследуется также влияние тепловой модуляции фаз волн на энергообмен при указанной самодифракции.

Пусть в планарно-ориентированном образце нематика с исходным направлением директора $n^0 \equiv e_x$ распространяются волны

$$E_x = E_0 e_x \exp(i k_{\parallel} z - i \omega t), \quad E_y = E_0 e_y \exp(i k_{\perp} z - i \omega t),$$

где $E_{x,0}(z, t)$ — медленные амплитуды этих волн; $k_{\parallel, \perp} = \omega n_{\parallel, \perp} / c$ — волновые числа необыкновенной и обыкновенной волн соответственно; ось z нормальна к границам образца. Пусть в образце, кроме того, имеет место слабое примесное поглощениe, не зависящее от поляризации, χ (см⁻¹). Как будет ясно из дальнейшего, нас интересует $z \sim 0.01$ см⁻¹, что соответствует доле поглощенной энергии $\sim 10^{-4}$; поэтому в дальнейшем мы учитываем лишь тепловую модуляцию фазы, пренебрегая изменением суммарной интенсивности волн из-за поглощения. При этом в среде будет иметь место [1, 2] переориентация директора $\partial n = e_y \Theta_p$ решеточного типа

$$\Theta_p = \Theta \exp(i q_0 z) + \Theta^* \exp(-i q_0 z), \quad q_0 = k_{\parallel} - k_{\perp},$$

а также тепловая фазовая модуляция.

В случае нестационарности как переориентаций, так и тепловыделения, соответствующем нашей экспериментальной ситуации, система укороченных уравнений Гельмгольца для волн E_x, E_y , динамического уравнения для Θ [1, 2] и уравнения для изменения температуры T после несложных, но достаточно громоздких преобразований имеет вид

$$\begin{aligned} \partial A / \partial z &= i \sigma B + i \gamma_{\parallel} \tau A, & \partial B / \partial z &= i \sigma^* A + i \gamma_{\perp} \tau B, \\ \partial \sigma / \partial t &= q A B^*, & \partial \tau / \partial t &= q [|A|^2 + |B|^2], \end{aligned} \tag{1}$$

где

$$\begin{aligned} A &= E_0 n_{\parallel}^{1/2}, \quad B = E_0 n_{\perp}^{1/2}, \quad q = \frac{\mathcal{E}_a^2}{16 \lambda \eta n_{\parallel} n_{\perp}}, \quad \sigma = \frac{\pi \mathcal{E}_a}{\lambda (n_{\parallel} n_{\perp})^{1/2}} \Theta, \\ \tau &= \frac{\pi c_p \mathcal{E}_a^2 \rho}{2 \lambda \eta n_{\parallel} n_{\perp} c} T, \quad \gamma_{\parallel \perp} = \frac{4 n_{\parallel} n_{\perp} \kappa \eta}{\rho c_p \mathcal{E}_a^2} \left(\frac{\partial n_{\parallel \perp}}{\partial T} \right)_p \end{aligned}$$

— параметры, характеризующие отношение тепловой и ориентационной нелинейной восприимчивости для данного образца. Здесь $\epsilon_a = (n_{\parallel}^2 - n_{\perp}^2)$ — анизотропия диэлектрической проницаемости, η (пазы) — ориентационная вязкость, λ — длина волны света в вакууме, ρ — плотность нематика, c_p — удельная теплоемкость при постоянном давлении, c — скорость света. Если учесть, что в реальной экспериментальной ситуации волны $E_{x,y}$ формирую-

ются из одного лазерного импульса, т. е. $A = \alpha(z, t) E(t)$, $B = \beta(z, t) E(t)$, где α, β — медленные функции z и t , и ввести безразмерную автомодельную переменную

$$y = qz \int_0^t |E(t')| dt',$$

пропорциональную текущей энергетической экспозиции, система (1) сводится к системе в прямых производных заменой

$$A = \alpha(y) E(t), \quad B = \beta(y) E(t), \quad \sigma = \frac{y}{z} M(y), \quad \tau = \frac{y}{z} N(y),$$

причем уравнение для τ вместе с условием $\tau(0)=0$ дает $N(y)\equiv 1$, и система с начальными условиями имеет вид

$$\begin{aligned} d\alpha/dy &= iM\beta + i\gamma \alpha, \quad \alpha(0) = \alpha_0, \quad \beta(0) = \beta_0, \\ d\beta/dy &= iM^*\alpha + i\gamma_\perp \beta, \quad M(0) = \alpha_0 \beta_0^*, \\ \frac{dM}{dy} &= \frac{1}{y} [\alpha\beta^* - M] \quad \left(\frac{dM}{dy}\right)_0 = \frac{i\alpha_0\beta_0^*}{2} [|\beta_0|^2 - |\alpha_0|^2 + \gamma_a]. \end{aligned} \quad (2)$$

Здесь $\gamma_a = \gamma_\parallel - \gamma_\perp$, добавочное условие на dM/dy требуется ввиду сингулярности третьего уравнения в нуле. Более того, оказывается, что в этой системе для шести действительных

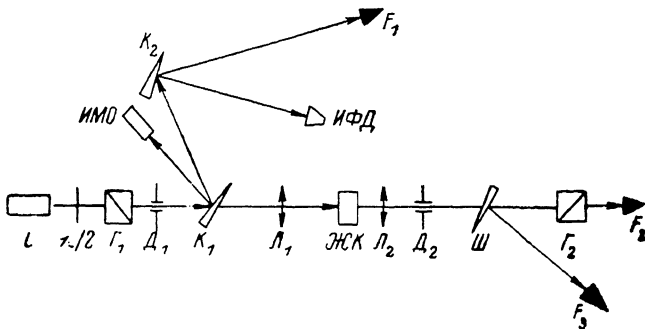


Рис. 1. Экспериментальная схема.

L — рубиновый лазер $\lambda=0.69$ мкм, λ_2 — полууволновая пластинка для $\lambda=0.69$ мкм, Γ_1, Γ_2 — призмы Глана, D_1, D_2 — диафрагмы, K_1, K_2 — клинья, L_1, L_2 — линзы, ЖКЛ — ячейка с жидким кристаллом, Ш — клин исландского шпата, ИМО — измеритель мощности лазерного излучения, ИФД — интегрирующий фотодиод, F_1, F_2 — фотоприемники.

величин, имеющей интеграл $|\alpha|^2 + |\beta|^2 \equiv 1$. можно заменой $|\beta|^2 - |\alpha|^2 = v$, $(C+iD)$ $\alpha\beta^* = M$ избавиться от несущественных для нас фаз α и β , сведя (2) к следующему (v, C, D — действительные):

$$\begin{aligned} dv/dy &= (1 - v^2) D, \quad v(0) = v_0, \\ \frac{dc}{dy} &= 2CDv + \frac{1 - c}{y} + \gamma_a D, \quad C(0) = 1, D(0) = 0, \\ \frac{dD}{dy} &= v(D^2 - C^2) - \frac{D}{y} - \gamma_a C - 1 \leq v \leq 1. \end{aligned} \quad (3)$$

Здесь v — отношение разности интенсивностей волн $E_{x,y}$ к их сумме, т. е. измеряемый экспериментально параметр. Видно, что (3) при $|\gamma_a| \leq 1$ имеет равновесное решение $C=1$, $D=0$, $v=-\gamma_a$. Численное решение системы (3) показывает, что v с ростом y стремится к $-\gamma_a$ не монотонно, а осцилляционным образом; в этом и состоит первое качественное [предсказание теории]. Второе состоит в том, что влияние тепловой модуляции фаз приводит к преумножительной перекачке энергии из e -волны в o -волну: $v_{\text{равн}} = -\gamma_a > 0$, поскольку

$$\frac{\partial n_\parallel}{\partial T} - \frac{\partial n_\perp}{\partial T} < 0.$$

Экспериментальная схема исследования процесса нестационарной самодифракции в пластинах нематика 5СВ толщиной 70 мкм представлена на рис. 1. Излучение одно-модовой свободной генерации рубинового лазера проходило через пластинку $\lambda/2$ и призму Глана Γ_1 , управляющие энергией импульса и поляризацией накачки (т. е. v_0). Поскольку $v=v(y)$, то существенным является постоянство локальной экспозиции по поперечному се-

чению пучка. Поэтому образец помещался в плоскости 22-кратно уменьшенного изображения диафрагмы D_1 диаметром 1 мм, выделяющей центр пучка с постоянной интенсивностью. Энергия пучка в образце варьировалась от нуля до ~ 30 мДж. Прошедший через образец пучок разделялся на о- и е-компоненты клином III из исландского шпата, и разность интенсивностей I_Δ этих компонент регистрировалась фотоэлементами $F_{2,3}$ с помощью дифференциаль-

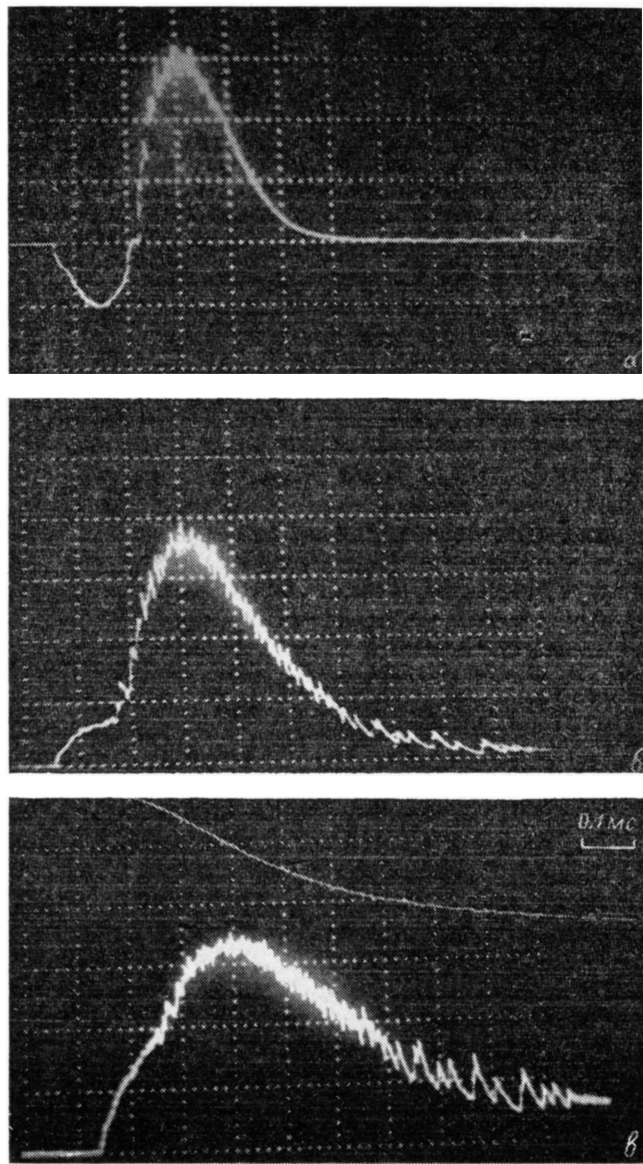


Рис. 2

ного входа осциллографа. Кроме того, регистрировались временная огибающая импульса накачки I_E^* и текущая экспозиция Q (с помощью интегрирующей цепочки).

На рис. 2 представлены типичные осциллограммы $I_\Delta(t)$ при $v_0 < 0$ (a), $I_\Delta(t)$ при $v'_0 = -v'_0$ (b) и $I_\Delta(t)$ (c). Видно, что с ростом экспозиции I_Δ меняет знак в случае $v'_0 < 0$. В случае $v'_0 = -v_0$ при прочих равных условиях этого не происходит, что свидетельствует о направленной перекачке энергии. С целью сравнения результатов с теорией были проведены количественные измерения зависимости $v = I_\Delta/I_E$ от экспозиции Q для различных v_0 (т. е. для различных углов между направлением вектора E падающей линейно-поляризованной волны и директором n^0). Выяснено, что при заданном v_0 зависимость $v(Q)$ одна и та же для импуль-

сов с различными энергиями, что подтверждает автомодельность зависимости $v(y)$. Далее для $v_0=+0.2$ зависимость $v(y)$ вырождается в $v(y)\equiv v_0$, что свидетельствует о том, что $\gamma_a \approx -0.2$. На рис. 3 приведены зависимости $v(y)$, полученные численным решением системы (3) для $\gamma_a=-0.2$ и различных v_0 , а также соответствующие экспериментальные точки. При этом в качестве подгоночного параметра использовалось неизвестное нам значение η . Наилучшее соответствие с теорией получено для $\eta=1.35$ пуз, что весьма правдоподобно для нематиков вблизи температуры перехода в твердую фазу (в наших экспериментах $\sim 20^\circ\text{C}$).

Из рис. 3 видно, что зависимости $v(y)$ пересекают линию $v=0.2$, что свидетельствует о верности предсказания об осцилляционном стремлении v к равновесному значению (см. теоретические кривые). К сожалению, не представляется возможным проследить эволюцию

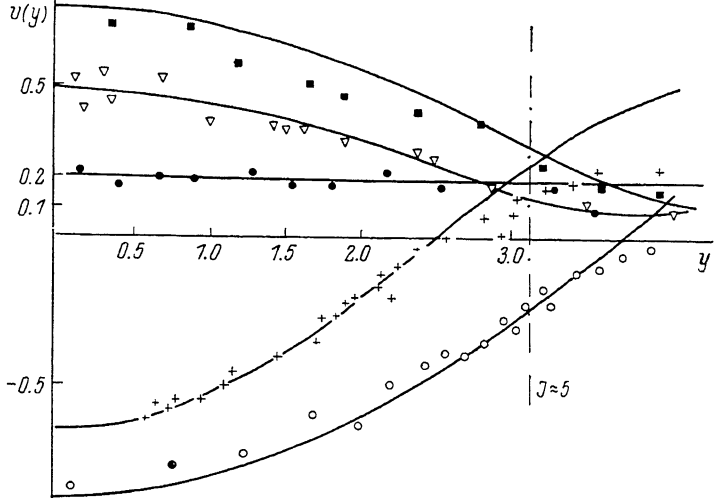


Рис. 3. Зависимость нормированной разности интенсивностей v от автомодельной переменной y . Разные формы экспериментальных точек соответствуют различным начальным соотношениям интенсивностей взаимодействующих волн.

$v(y)$ при $y \geq 4$, так как в этой области инкремент J ориентационного ВР в большой телесный угол [1] $J=2\sqrt{2}y \geq 5$, что соответствует сильному истощению обеих волн за счет данного ВР. Очевидно, что в этой области y наше рассмотрение становится неадекватным. Отметим также, что оцененное из (1) значение x , соответствующее $\gamma_a=-0.2$, дает $x \approx 2 \times 10^{-3} \text{ см}^{-1}$. Столь ничтожные примесные поглощения никаким прямым методом измерить невозможно, поэтому описанная самодифракция дает уникальную возможность их измерения.

Итак, нами обнаружены направленная перекачка энергии в ω -волну при нестационарной ориентационной самодифракции в нематике в присутствии поглощения, осцилляционный характер стремления разности интенсивностей волн к равновесному значению и продемонстрирована возможность применения указанного процесса для измерения чрезвычайно малых коэффициентов поглощения света нематиками.

Авторы благодарны П. Б. Лернеру за полезные обсуждения.

Литература

- [1] Зельдович Б. Я., Мерзликин С. К., Пилипецкий Н. Ф., Сухов А. В. Письма в ЖЭТФ, 1985, т. 41, № 10, с. 418–421.
- [2] Зельдович Б. Я., Пилипецкий Н. Ф., Сухов А. В. Письма в ЖЭТФ, 1986, т. 43, № 3, с. 122–126.
- [3] Hsiung H., Shi L. P., Shen Y. R. Phys. Rev. A, 1984, v. 30, p. 1453–1462.
- [4] Khoo I. C., Normandin R. IEEE J., 1985, v. QE-21, N 4, p. 329–335.